

УДК 539.214; 539.374

© 1996 г. В.А. КОВТУНЕНКО

## ЧИСЛЕННОЕ РЕШЕНИЕ ЗАДАЧИ О КОНТАКТЕ УПРУГОПЛАСТИЧЕСКОЙ БАЛКИ ДЛЯ МОДЕЛИ ТИМОШЕНКО

Рассматривается система вариационных неравенств, описывающая задачу равновесия упруго-пластической балки, шарнирно закрепленной по краям, под действием жесткого штампа. Границы контактного течения заранее неизвестны. Для описания поведения материала используется модель пластического течения.

В [1] с помощью метода штрафов доказана теорема существования для исследуемой модели. В настоящей статье построена итерационная система линейных дифференциальных уравнений и доказана сходимость ее решения к решению исходной задачи. Численные расчеты по построенной схеме проиллюстрированы на модельных примерах.

Задача контакта упругопластической балки с жестким штампом формулируется следующим образом. На прямоугольнике  $(0,1) \times (0,T)$  требуется найти неизвестные функции поперечного прогиба балки  $w(x,t)$  и изгибающего момента  $m(x,t)$ , удовлетворяющие следующим неравенствам:

$$w \geq \phi, \quad |m| \leq a$$

$$(m_{xx} + f, \bar{w} - w) \leq 0 \quad \forall \bar{w} \geq \phi$$

$$(-c\dot{m}_{xx} + \dot{m} + \dot{w}_{xx}, \bar{m} - m) \geq 0 \quad \forall |\bar{m}| \leq a$$

(1)

$$m = w = 0, \quad \text{при } x = 0, 1$$

$$m = {}^0m, \quad w = {}^0w \quad \text{при } t = 0$$

Заданными считаются функции формы штампа  $\phi \in L^\infty(0,T; H^2(0,1))$  ( $\phi \leq 0$  при  $x = 0, 1$ ), внешняя нагрузка  $f \in L^\infty(0,T; L^2(0,1))$  и константы  $a > 0, c > 0$ . Скобки  $(\cdot, \cdot)$  обозначают скалярное произведение в  $L^2(0,1)$ , точка над функцией – производную по параметру  $t$ . Здесь и далее через  $H^k(0,1)$ ,  $k = 1, 2$  обозначается пространство обобщенных функций Соболева  $W_2^k(0,1)$ ,  $H_0^k(0,1)$  – замыкание в соответствующей норме гладких финитных функций.

Односторонняя начально-краевая задача (1) содержит в себе геометрическое ограничение  $w(x,t) \geq \phi(x,t)$ , которое обозначает непроникание балки через штамп, и физическое ограничение на момент. Строгое неравенство  $|m(x,t)| < a$  описывает состояние упругости, равенства  $|m(x,t)| = a$  определяет участки балки  $0 \leq x \leq 1$ , точки  $x$  которых находятся в состоянии пластичности в момент  $t$  [2].

Обычный подход к численному решению вариационных неравенств состоит в их замене на задачу минимизации функционала [3] или отыскания седловой точки лагранжиана [4]. Система вариационных неравенств (1) не является условием для существования седловой точки лагранжиана. Другой из возможных подходов состоит в применении метода штрафа [5]. Использование этого метода возможно для аппроксимации как упругоидеальнопластического течения [6], так и контактного взаимо-

действия. В частности, для задачи контакта упругой пластины со штампом в [7] изложены некоторые итерационные схемы, основанные на методе штрафа. Цель данной работы состоит в построении итерационного метода для штрафной задачи, ассоциированной с исходной моделью контакта упругопластической балки Тимошенко. Задача (1) можно переформулировать в приращениях. Разобьем отрезок  $(0, T)$  на интервалы длиной  $\Delta t$  точками  $k = 0, 1, 2, \dots, K$ . Будем обозначать значения функций в точке  $t = k \Delta t$  левым верхним индексом  $k$ . Получим последовательность уже деформированных задач при каждом  $k = 0, 1, 2, \dots, K - 1$ :

$${}^{k+1}w \geq {}^{k+1}\phi, \quad |{}^{k+1}m| \leq a$$

$$({}^{k+1}m_{xx} + f, \bar{w} - {}^{k+1}w) \leq 0 \quad \forall \bar{w} \geq {}^{k+1}\phi$$

$$\left( -c \frac{{}^{k+1}m_{xx} - {}^k m_{xx}}{\Delta t} + \frac{{}^{k+1}m - {}^k m}{\Delta t} + \frac{{}^{k+1}w_{xx} - {}^k w_{xx}}{\Delta t}, \bar{m} - {}^{k+1}m \right) \geq 0$$

$$\forall |\bar{m}| \leq a$$

$${}^{k+1}m = {}^{k+1}w = 0 \quad \text{при } x = 0, 1$$

Введем операторы штрафа

$$\beta(w) = \begin{cases} 0, & \text{если } w \geq \phi \\ w - \phi, & \text{если } w < \phi \end{cases}$$

$$\alpha(m) = \begin{cases} 0, & \text{если } |m| \leq a \\ m - a, & \text{если } m > a \\ m + a, & \text{если } m < -a \end{cases}$$

Тогда уравнения со штрафом, ассоциированные с системой (2), будут следующими:

$$-{}^{k+1}m(e, q)_{xx} + \beta({}^{k+1}w(e, q)) / e = f$$

$$-c {}^{k+1}m(e, q)_{xx} + {}^{k+1}m(e, q) + \Delta t \alpha({}^{k+1}m(e, q)) / q + {}^{k+1}w(e, q)_{xx} = -c {}^k m_{xx} + {}^k m + {}^k w_{xx} \quad (3)$$

$${}^{k+1}w(e, q) = {}^{k+1}m(e, q) = 0 \quad \text{при } x = 0, 1$$

где  $e$  и  $q$  – малые положительные параметры. В [1] доказан результат

$$({}^{k+1}w(e, q), {}^{k+1}m(e, q)) \rightarrow ({}^{k+1}w, {}^{k+1}m) \quad \text{слабо в } (H_0^1(0, 1))^2$$

при  $e, q \rightarrow 0$ , где  ${}^{k+1}w, {}^{k+1}m$  – решение задачи (2). Полученные уравнения со штрафом (3) являются существенно нелинейными. Линеаризуем их следующим образом. Для простоты записи зависимость искомых функций от параметров  $e, q, t$  указывать не будем. Зафиксируем эти параметры и рассмотрим итерационную схему

$$g_{xx}^{n+1} - \frac{1}{c} g^{n+1} = \frac{\Delta t}{q + \Delta t} \alpha(g_{xx}^n - {}^k m) - \frac{1}{c} (w^n - {}^k w)$$

$$-w_{xx}^{n+1} + \frac{c}{e} w^{n+1} = cf + c(w^n - \beta(w^n)) / e - g_{xx}^{n+1} + c {}^k m_{xx} - {}^k w_{xx},$$

(5)

$$m^{n+1} = (w^{n+1} - g^{n+1} -^k w)c +^k m$$

$$g^{n+1} = w^{n+1} = m^{n+1} = 0 \text{ при } x = 0, 1$$

для  $n = 0, 1, 2, \dots$  и произвольных  $g^0 \in H^2(0,1) \cap H_0^1(0,1)$ ,  $w^0 \in H_0^1(0,1)$ .

Тогда из (4) следует, что известная правая часть первого уравнения (5) принадлежит  $L^2(0, 1)$ , а второго  $-H^{-1}(0, 1)$ . Следовательно, исходя из общей теории эллиптических дифференциальных уравнений второго порядка, существует единственное решение задачи (5)  $g^{n+1} \in H^2(0,1) \cap H_0^1(0,1)$ ,  $w^{n+1}, m^{n+1} \in H_0^1(0,1)$ .

**Теорема 1.** Имеет место сходимость  $(w^{n+1}, m^{n+1}) \rightarrow (w, m)$  сильно в  $(H_0^1(0,1))^2$  при  $n \rightarrow \infty$ , где  $(w, m)$  – решение системы (3).

**Доказательство.** Обозначим  $u^{n+1} = w^{n+1} - w^n$ ,  $v^{n+1} = g^{n+1} - g^n$ , тогда из (5) следует

$$v_{xx}^{n+1} - \frac{1}{c}v^{n+1} = \frac{\Delta t}{q + \Delta t} (\alpha(g_{xx}^n -^k m) - \alpha(g_{xx}^{n-1} -^k m)) - \frac{1}{c}u^n$$

$$-u_{xx}^{n+1} + \frac{c}{e}u^{n+1} = \frac{c}{e}(u^n - \beta(w^n) + \beta(w^{n-1})) - v_{xx}^{n+1} \quad (6)$$

$$u^{n+1} = v^{n+1} = 0 \text{ при } x = 0, 1$$

Заметим следующие свойства операторов штрафа:

$$|\alpha(s^1) - \alpha(s^2)| \leq |s^1 - s^2|, \quad |s^1 - s^2 - (\beta(s^1) - \beta(s^2))| \leq |s^1 - s^2| \quad (7)$$

Умножим первое уравнение в (6) на  $v_{xx}^{n+1}$ , второе на  $u^{n+1}$  и проинтегрируем по  $(0, 1)$  с учетом краевых условий, далее воспользуемся неравенством Гельдера и (7), в итоге получим оценки

$$\left( \frac{2q}{q + \Delta t} + \frac{\Delta t}{q + \Delta t} \right) \|v_{xx}^{n+1}\|^2 + \frac{1}{c} \|v_x^{n+1}\|^2 \leq \frac{\Delta t}{q + \Delta t} \|v_{xx}^n\|^2 + \frac{1}{c} \|u_x^n\|^2$$

$$\frac{1}{c} \|u_x^{n+1}\|^2 + \frac{1}{e} \|u^{n+1}\|^2 \leq \frac{1}{c} \|v_x^{n+1}\|^2 + \frac{1}{e} \|u^n\|^2 \quad (8)$$

Поскольку для  $u^{n+1} \in H_0^1(0,1)$ ,  $v_x^{n+1} \in H^1(0,1)$ ,  $\int_0^1 v_x^{n+1} dx = 0$  выполнено неравенство

Пуанкаре  $\|u^{n+1}\| \leq \|u_x^{n+1}\|$ ,  $\|v_x^{n+1}\| \leq \|v_{xx}^{n+1}\|$ , то из (8) после сложения можно найти такое  $\rho$ ,  $0 < \rho < 1$ , зависящее от  $e, q, c$ , что

$$\frac{\Delta t}{q + \Delta t} \|v_{xx}^{n+1}\|^2 + \frac{1}{c} \|u_x^{n+1}\|^2 + \frac{1}{e} \|u^{n+1}\|^2 \leq \rho \left( \frac{\Delta t}{q + \Delta t} \|v_{xx}^n\|^2 + \frac{1}{c} \|u_x^n\|^2 + \frac{1}{e} \|u^n\|^2 \right) \leq \dots$$

$$\dots \leq \rho^n \left( \frac{\Delta t}{q + \Delta t} \|v_{xx}^1\|^2 + \frac{1}{c} \|u_x^1\|^2 + \frac{1}{e} \|u^1\|^2 \right) \equiv c_1 \rho^n \quad (9)$$

Таким образом при фиксированных  $e, q$ :

$$\|v_{xx}^{n+1}\|, \|u_x^{n+1}\|, \|u^{n+1}\| \rightarrow 0 \text{ при } n \rightarrow \infty$$

Поскольку сумма ряда геометрической прогрессии с показателем  $\sqrt{\rho} < 1$  огра-

ничена, то существует предельный элемент

$$g = g^0 + \sum_{i=1}^{\infty} v^i, \quad w = w^0 + \sum_{i=1}^{\infty} u^i$$

что

$$g^n \rightarrow g \text{ сильно в } H^2(0,1) \cap H_0^1(0,1)$$

$$w^n \rightarrow w \text{ сильно в } H_0^1(0,1) \text{ при } n \rightarrow \infty$$

В силу непрерывности операторов штрафа имеем

$$\alpha(g_{xx}^n) \rightarrow \alpha(g_{xx}), \quad \beta(w^n) \rightarrow \beta(w) \text{ при } n \rightarrow \infty$$

Используя сходимости (9)–(11), перейдем к пределу в (5) при  $n \rightarrow \infty$ , получим

$$g_{xx} -^k m - \frac{\Delta t}{q + \Delta t} \alpha(g_{xx} -^k m) = \frac{1}{c} (g - w +^k w) -^k m$$

$$-w_{xx} + c\beta(w) / e = cf - g_{xx} + c^k m_{xx} -^k w_{xx}$$

$$m = (w - g -^k w) / c +^k m$$

$$g = w = m = 0 \text{ при } x = 0, 1$$

Поскольку равенства

$$g_{xx} -^k m - \frac{\Delta m}{q + \Delta t} \alpha(g_{xx} -^k m) = -m$$

$$m + \frac{\Delta t}{q} \alpha(m) = -g_{xx} +^k m$$

эквивалентны почти всюду на  $(0, 1)$ , то после исключения из (12) функции  $g$  получим искомое решение системы (3). Теорема доказана.

Для решения линейной системы дифференциальных уравнений (5) при фиксированном  $n$  использовался метод конечных разностей. Разобьем отрезок  $(0, 1)$  на равные промежутки длины  $h$  и определим стандартные разностные операторы дифференцирования в узловых точках. Применяя метод трехточечной прогонки для разностного аналога системы (5) при  $n = 0, 1, 2, \dots$ , получим последовательность его численных решений, которые будем отмечать нижним индексом  $h$ . В силу доказанной теоремы итерационный процесс по  $n$  сходится, тогда назовем  ${}^{k+1}w_h(e, q) = {}^{k+1}w_h^{n+1}(e, q)$

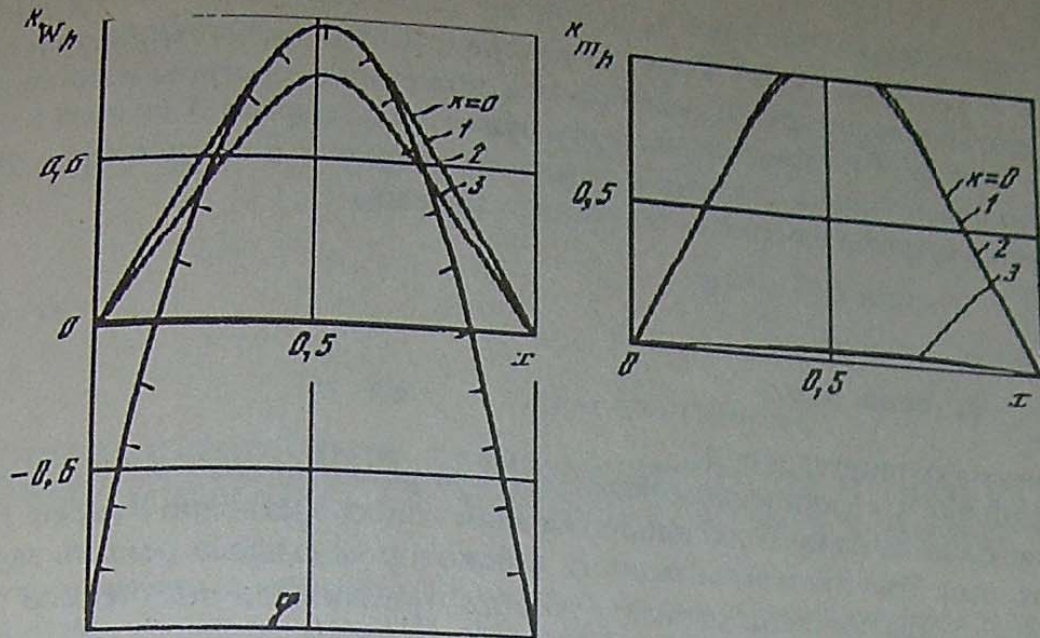
${}^{k+1}m_h(e, q) = {}^{k+1}m_h^{n+1}(e, q)$  решением уравнений (3), если выполнено условие

$$\max_x (|{}^{k+1}w_h^{n+1}(e, q) - {}^{k+1}w_h^n(e, q)| + |{}^{k+1}m_h^{n+1}(e, q) - {}^{k+1}m_h^n(e, q)|) \leq \delta$$

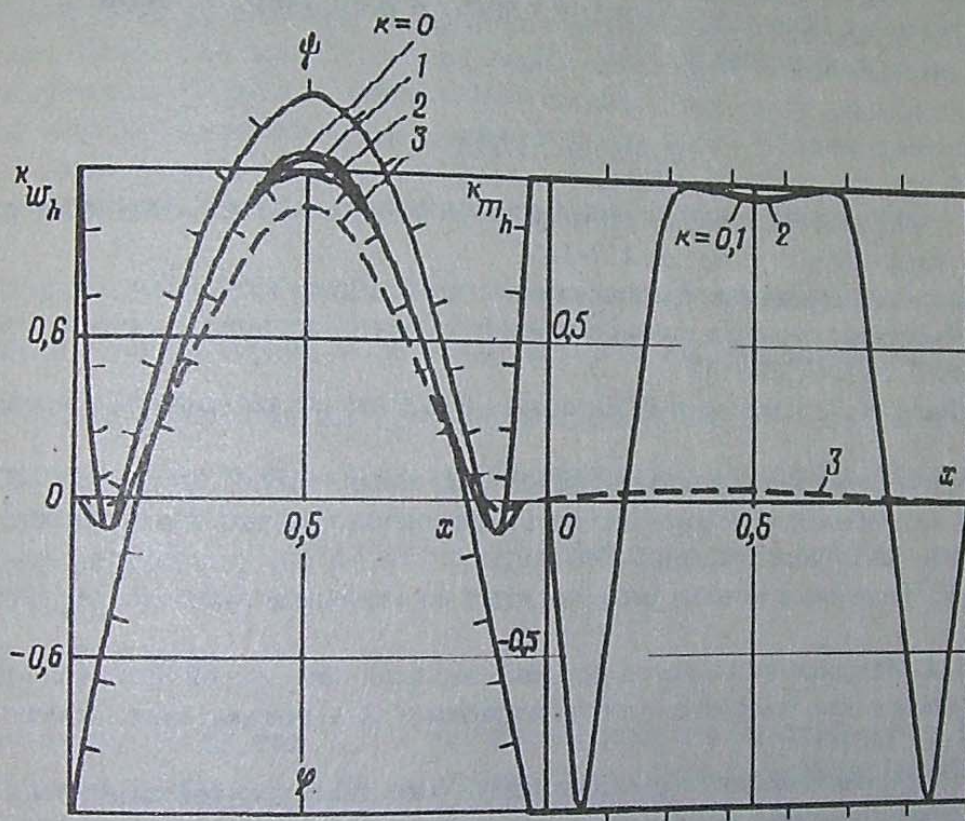
где  $\delta > 0$  – заданная погрешность. Далее, используя сходимость (4), перейдем в (3) к пределу при  $e, q \rightarrow 0$ . Для этого выберем последовательность параметров  $(e, q)_i \rightarrow 0$  при  $i \rightarrow \infty$  и для каждого  $i = 1, 2, 3, \dots$  найдем решение (3)  ${}^{k+1}w_h(e, q)_i$ . Будем считать, что получено решение системы (2)  ${}^{k+1}w_h = {}^{k+1}w_h(e, q)_{i+1}$

${}^{k+1}m_h = {}^{k+1}m_h(e, q)_{i+1}$ , если следующая величина не превосходит  $\delta$ :

$$\max_x (|{}^{k+1}w_h(e, q)_{i+1} - {}^{k+1}w_h(e, q)_i| + |{}^{k+1}m_h(e, q)_{i+1} - {}^{k+1}m_h(e, q)_i|)$$



Фиг. 1



Фиг. 2

Последовательность нахождения решения системы (2) при  $k = 0, 1, 2, \dots$  даст численное решение  $w_h(x, t), m_h(x, t)$  исходных уравнений (1). После этого явно определяются неизвестные интервалы контакта, зоны пластической деформации, контактная сила  $F$ , скорость пластических деформаций  $\xi$ :

$$F = \lim_{e, q \rightarrow 0} \frac{1}{e} \beta(w(e, q)); \quad \xi = \lim_{e, q \rightarrow 0} \frac{1}{q} \alpha(m(e, q))$$

На модельных примерах был проведен ряд численных экспериментов: исследовалась зависимость получаемого решения от исходных данных  $h, \Delta t, f, \phi, a, c, \delta$ ;

рассматривалась следующая схема нагружения. Мгновенное вдавливание штампа в ненагруженную балку  ${}^0w = {}^0m = 0$  с последующей фиксацией на некоторое "время"  $T$ :  $0 \leq k \leq s - 1$ , затем при  $t = s\Delta t$  разгрузка, то есть штамп убирается. Данная схема

проиллюстрирована на фигурах 1, 2 для  $s = 3, f = 0, a = \Delta t = 1, c = 0, 1, h = 10^{-2}$ ,  $\delta = 10^{-4}, \phi(x) = 1,2 - 9,6(x - 0,5)^2$ . Тогда за интервал  $T$  первоначальные зоны пластичности убывают, после разгрузки сохраняются остаточные прогибы и моменты. Упругая балка за "время"  $T$  не изменяется, а разгружается до первоначального состояния; рассматривалась задача с двумя штампами: сверху  $\psi$  и снизу  $\phi$  (фиг. 2). В этом случае оператор штрафа изменится очевидным образом

$$\beta(w) = \begin{cases} 0 & \text{если } \phi \leq w \leq \psi \\ w - \phi, & \text{если } w < \phi \\ w - \psi, & \text{если } w > \psi \end{cases}$$

а все результаты останутся в силе.

При разработке в графическом режиме была реализована процедура изменения заданной формы штампа произвольным образом непосредственно с экрана дисплея на каждом шаге по  $t$ . Это дает возможность в некотором смысле решать задачу оптимального управления формой штампа, то есть приближать получаемое решение к заданному.

Аналогичные подходы в упругих и пластических контактных задачах для пластин и балок, описываемых с помощью модели пластин Кирхгоффа, были изучены в [8-10], их математическое обобщение в [11].

#### СПИСОК ЛИТЕРАТУРЫ

1. *Khudnev A.M., Hoffmann K.-H.* A variational inequality in a contact elastoplastic problem for a bar // *Adv. in Math. Scien. and Appl.* 1992. V. 1. № 1. P. 127-136
2. *Темам Р.* Математические задачи теории пластичности. М.: Наука, 1991. 288 с.
3. *Баничук Н.В.* Численное решение задачи о прогибе упругой пластины, стесненной ограничениями // *Инж. ж. МТТ.* 1967. № 4. С. 138-142.
4. *Гловински Р., Лионс Ж.Л., Тремольер Р.* Численное исследование вариационных неравенств. М., Мир, 1979. 574 с.
5. *Лионс Ж.Л.* Некоторые методы решения нелинейных краевых задач. М.: Мир, 1972. 587 с.
6. *Садовский В.М.* Гиперболические вариационные неравенства в задачах динамики упругопластических тел // *ПММ.* 1991. Т. 55. Вып. 6. С. 1041-1048.
7. *Вабищевич П.Н.* Численные методы решения задач со свободной границей. М.: Изд-во МГУ, 1987. 164 с.
8. *Ковтуненко В.А.* Итерационный метод решения вариационных неравенств в контактной упруго-пластической задаче с использованием метода штрафов // *Ж. вычислит. математики и матем. физики.* 1993. Т. 33. № 9. С. 1409-1415.
9. *Ковтуненко В.А.* Метод численного решения задачи о контакте упругой пластины с препятствием // *ПМТФ.* 1994. № 5. С. 142-146.
10. *Kovtunen V.A.* Iteration penalty method for the contact elastoplastic problem // *Control and Cybernetics.* 1994. V. 23. No. 4. P. 803-808.
11. *Ковтуненко В.А.* Итерационный метод штрафа для вариационных неравенств с сильно монотонными операторами. *Сиб. матем. ж.* 1994. Т. 35. № 4. С. 826-829.

Новосибирск

Поступила в редакцию  
27.XII.1994